

## GF( $2^m$ )상에서 셀룰러 오토마타를 이용한

### 새로운 $AB^2$ 연산기 설계<sup>1)</sup>

하경주\*, 구교민\*\*, 김현성\*\*\*, 이형목\*\*\*, 전준철\*\*\*, 유기영\*\*\*

\*경산대학교, \*\*대구교육대학교, \*\*\*경북대학교

### Design of a New $AB^2$ Multiplier over GF( $2^m$ ) using Cellular Automata

Kyeoung-Ju Ha\*, Kyo-Min Ku\*\*, Hyun-Sung Kim\*\*\*, Hyoung-Mok Lee\*\*\*,  
Jun-Cheol Jeon\*\*\*, Kee-Young Yoo\*\*\*

\*Dept. of Information processing, Kyungsan Univ. \*\*Daegu National Univ. of Education

\*\*\*Dept. of Computer Engineering, Kyungpook National Univ.

### 요약

본 논문에서는 셀룰러 오토마타를 이용하여, GF( $2^m$ )상에서  $AB^2$  연산을  $m$  클럭 사이클 만에 처리할 수 있는 새로운 연산기를 설계하였다. 이는 대부분의 공개키 암호화 시스템에서의 기본 연산인 유한 필드 상의 모듈러 지수(modular exponentiation) 연산기 설계에 효율적으로 이용될 수 있다. 또한 셀룰러 오토마타는 간단하고도 규칙적이며, 모듈화 하기 쉽고 계층화 하기 쉬운 구조이므로 VLSI 구현에도 효율적으로 활용될 수 있다.

### I. 서론

최근 인터넷의 급속한 확산과 더불어 인터넷 상에서의 안전한 정보전송을 위해 정보보호에 대한 필요성이 대두되어 여러가지 보안기술이 개발되고 있는 실정이다. 따라서 정보보호의 핵심 기술이라 할 수 있는 암호화 시스템의 구현의 중요성이 점점 더 크게 부각되고 있다. 지난 30여년간 암호화 시스템 등 여러 분야에서 유한 필드에 대한 연구가 이루어 졌으며[1], Diffie-Hellman key exchange, ElGamal과 같은 대부분의 공개키 암호화 시스템에서는 유한 필드 상의 모듈러 지수(modular exponentiation)연산을 기본으로 하고 있다[2][3]. 이러한 모듈러 지수 연산기에서는 이의 구현을 위해 모듈러 곱셈(modular multiplication)연산기를 기본 구조로서 사용하고 있다. 또한 타원곡선 암호화 시스템에서는 정수배의 곱셈 연산을 기본으로 하고 있다[4]. 곱셈기를 구현하기 위

한 알고리즘으로는 LSB 곱셈 알고리즘[5]과 MSB 곱셈 알고리즘[6] 및 몽고메리(montgomery) 알고리즘[7] 등이 있다.

본 논문에서는 셀룰러 오토마타(CA:Cellular Automata)를 이용하여[8][9], GF( $2^m$ )상에서 효과적인 지수승 계산을 위하여  $AB^2$  연산을 빠르게 처리할 수 있는 새로운 구조를 제안한다. 지금까지  $AB^2$  연산을 위해 개발된 연구 결과들은 대부분이 시스톨릭 구조상에서 연구되었으며, CA를 이용한  $AB^2$  연산은 본 논문에서 처음으로 시도되었다. 지금까지 연구된 결과들은 다음과 같다.

먼저 시스톨릭 구조 상에서는  $m \times m$  셀을 사용하여  $3m$  클럭 사이클에  $AB^2$  연산을 하고 있으며 [10],  $(m \times m)/2$  셀을 사용하여  $2m+m/2$  클럭 사이클에  $AB^2$  연산을 하고 연산을 하고 있다[11].

본 논문에서는 처음으로 CA를 이용하여  $m$ 개의 셀을 사용하여  $m$  클럭 사이클만에  $AB^2$  연산을 수행하는 연산기를 설계함으로써 지금까지의 연구 결과보다 시간적으로나 공간적으로 월등히 개선된 구조를 제시하였다.

1) This work was supported by grant No. 2000-2-51200-001-2 from the Basic Research Program of the Korea Science & Engineering Foundation.

## II. 셀룰러 오토마타

CA는 규칙적으로 상호 연결된 많은 셀들로 구성되어져 있는 유한 상태 머신(finite state machine)이다[8,9]. 각 셀들의 다음 상태는 각 셀들과 연결된 이웃의 현재 상태 값에 따라 달라지게 된다. 다음은 2-상태, 3-이웃 1-차원의 CA의 법칙에 대한 한 예이다.

이웃의 상태 :	111	110	101	100	011	010	001	000
다음 상태 :	0	1	0	1	1	0	1	0

(법칙 90)

법칙 90을 살펴보면, 자신의 왼쪽 이웃과 오른쪽 이웃의 상태 값을 XOR 하여 그 결과값으로 자신의 상태를 갱신하고 있음을 알 수 있다.

$n$ 개의 셀을 가지는 CA의 현재 상태는  $n$ -벡터  $x=(x_0, x_1, \dots, x_{n-1})$ 로 나타낼 수 있다. 여기서  $x_i$ 는 셀  $i$ 의 값이며,  $x_i$ 는 GF(2)의 원소이다. 선형 CA에서 다음의 상태는 특성 행렬과 현재 상태의 벡터를 곱함으로써 결정될 수 있는데, 이 때 특성 행렬은 CA의 전체적인 법칙을 나타낸다.  $x_t$ 를 시간  $t$ 에서의 CA의 상태라 하고(하나의 열벡터로 간주), 특성 행렬을  $T$ 라하면, 시간  $t+1$ 에서의 CA의 상태는 다음과 같이 표현된다.

$$x^{t+1} = T \cdot x^t$$

여기서의 산술 연산은 GF(2) 상에서 일어난다.

법칙 90에 대한 특성 행렬을 구해보면 다음과 같다.

$$\begin{bmatrix} 0 & 1 & 0 & 0 & \dots & 0 & 0 \\ 1 & 0 & 1 & 0 & \dots & 0 & 0 \\ 0 & 1 & 0 & 1 & \dots & 0 & 0 \\ 0 & 0 & 1 & 0 & \dots & 0 & 0 \\ 0 & 0 & 0 & 1 & \dots & 0 & 0 \\ 0 & 0 & 0 & 0 & \dots & 0 & 0 \\ 0 & 0 & 0 & 0 & \dots & 1 & 0 \end{bmatrix}$$

위의 예에서  $i$ 번째 행  $j$ 번째 열에 있는 행렬의 요소 1은  $i$ 번째 셀이  $j$ 번째 셀과 이웃에 대한 의존도가 있음을 나타낸다.

## III. GF( $2^m$ )상에서 지수승 연산을 위한 알고리즘

본 장에서는 GF( $2^m$ ) 상에서  $M(x)^E \bmod P(x)$ 를 구하는 일반적인 알고리즘에 대해 설명한다.

$A(x)$ 와  $B(x)$ 를 GF( $2^m$ ) 상의 한 원소라 하자. 그리고  $P(x)$ 는 차수  $m$ 의 원시 기약 다항식(primitive irreducible polynomial)이라 하자[1]. 그러면 세 개의 다항식  $A(x)$ ,  $B(x)$ ,  $P(x)$ 는 다음과 같다.

$$A(x)=a_{m-1}x^{m-1}+\dots+a_1x^1+a_0 \quad (1)$$

$$B(x)=b_{m-1}x^{m-1}+\dots+b_1x^1+b_0 \quad (2)$$

$$P(x)=x^m+p_{m-1}x^{m-1}+\dots+p_1x^1+p_0 \quad (3)$$

먼저  $M(x)^E \bmod P(x)$ 의 계산은 지수  $E (= [e_{m-1}, e_{m-2}, \dots, e_1, e_0])$ 의 처리 방식에 따라 LSB 우선 방법과 MSB 우선 방법으로 나뉘어 지는데, 연산의 방법은 다음과 같다.

LSB 우선 지수승 :  $e_0$  부터  $e_{m-1}$  순으로 연산

$$M^E = M^{e_0} (M^2)^{e_1} (M^4)^{e_2} \dots (M^{2^{m-1}})^{e_{m-1}}$$

MSB 우선 지수승 :  $e_{m-1}$  부터  $e_0$  순으로 연산

$$M^E = ((M^{e_{m-1}})^2 M^{e_{m-2}})^2 \dots M^{e_1})^2 M^{e_0}$$

본 장에서는 MSB 우선 곱셈 방법에 대해 일반적인 알고리즘[13]에 대해 살펴 보고, 다음 장에서 이의 계산을 효율적으로 할 수 있는 CA를 이용한 AB2 연산기 구조를 제시한다.

알고리즘 1: MSB 우선 곱셈에 의한 지수승 알고리즘

입력 :  $A(x)$ ,  $B(x)$ ,  $P(x)$

출력 :  $C(x)=A(x)^E \bmod P(x)$

단계 1 : if  $e_{m-1}=1$   $C(x)=A(x)$  else  $C(x)=\alpha^0$

단계 2 : for  $i=m-2$  to 0

단계 3 : if  $e_i == 1$   $C(x)=A(x)C(x)^2 \bmod P(x)$   
else  $C(x)=\alpha^0 C(x)^2 \bmod P(x)$

알고리즘 1을 구현하기 위한 일반적인 방법은 단계 3에서 사용되는  $AB^2$ 의 연산기를 설계하여 지수승 연산 구현에 이용하는 것이다. 본 논문의 다음장에서는 이러한  $AB^2$ 의 곱셈 연산기를 CA를 이용하여  $m$ -클럭 사이클에 구현하는 구조를 제시한다.

## IV. CA를 이용한 $AB^2$ 연산기

본 장에서는 GF( $2^m$ ) 상에서  $M(x)^E \bmod P(x)$ 를 MSB 우선 방식으로 구함에 있어 필수적인 요소인  $AB^2$ (알고리즘 1의 단계 3)의 연산을 CA를 이용하여 빠른 시간에 계산 할 수 있는 구조를 제시하고자 한다.

먼저 III장의 식(1), (2), (3) 으로부터 다음과 같은 식을 유도할 수 있다.

$$B(x)^2=b_{m-1}x^{2m-2}+b_{m-2}x^{2m-4}+\dots+b_1x^2+b_0 \quad (4)$$

$$\begin{aligned} A(x)B(x)^2 \bmod P(x) \\ = A(x)(b_{m-1}x^{2m-2}+b_{m-2}x^{2m-4}+\dots+b_1x^2+b_0) \bmod P(x) \\ = (A(x)b_{m-1}x^{2m-2}+A(x)b_{m-2}x^{2m-4}+\dots+A(x)b_1x^2+A(x)b_0) \bmod P(x) \\ = [A(x)b_{m-1}x^{2m-4}+A(x)b_{m-2}x^{2m-6}+\dots+A(x)b_1x^2] \bmod P(x) + A(x)b_0 \\ = \dots [A(x)b_{m-1}x^2 \bmod P(x) + A(x)b_{m-2}]x^2 \bmod P(x) + \dots + A(x)b_1x^2 \bmod P(x) + A(x)b_0 \end{aligned} \quad (5)$$

위의 식(5)를 구현하기 위한 구체적인 알고리즘은 다음과 같다.

### 알고리즘 2 . $AB^2$ 연산 알고리즘

입력 :  $A(x)$ ,  $B(x)$ ,  $P(x)$

출력 :  $A(x)B(x)^2 \bmod P(x)$

단계 1 :  $M(x)=0$ ;

단계 2 : for  $i=m-1$  to 0

단계 3 :  $M(x)=M(x)\alpha^2 \bmod P(x) + A(x)b_i$

알고리즘 2의 단계 3에서  $M(x)^2 \bmod P(x)$  연산과  $A(x)b_i$  연산은 동시에 수행될 수 있다. 이를 구현하기 위한 기본적인 연산들은 다음과 같다.

연산 1 :  $M(x)\alpha^2$  연산

연산 2 : modular reduction 연산

연산 3 :  $A(x)b_i$  연산

우선 연산 1을 수행하기 위하여  $m$ 개의 셀을 가지는 초기값을 0으로 가지는 CA를 이용한다. 그런데 여기서 연산 1은 2를 구현하기 위해 두 비트를 왼쪽으로 쉬프트하여야 한다. 이를 위해  $m$ 셀 CA에서 각 셀의 다음 상태는 자신의 두 번째 오른쪽 이웃의 이전 상태로 정의한다. 이러한 CA를 나타내는  $m \times m$  특성 행렬  $B$ 는 다음과 같이 나타낼 수 있다.

$$B = \begin{bmatrix} 0 & 0 & 1 & 0 & \dots & 0 & 0 \\ 0 & 0 & 0 & 1 & \dots & 0 & 0 \\ 0 & 0 & 0 & 0 & \dots & 0 & 0 \\ 0 & 0 & 0 & 0 & \dots & 0 & 0 \\ \vdots & \vdots & \vdots & \vdots & \ddots & \vdots & \vdots \\ 1 & 0 & 0 & 0 & \dots & 0 & 0 \\ 0 & 1 & 0 & 0 & \dots & 0 & 0 \end{bmatrix}$$

특성 행렬  $B$ 를 가지는 CA의 구조도는 그림 1과 같다.

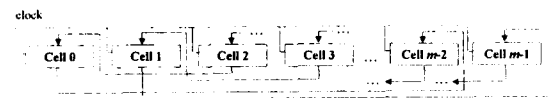


그림 1 : 특성 행렬  $B$ 를 가지는 CA 구조도

연산 2(modular reduction)를 수행하기 위해서는 연산 1의 결과 두 비트가 왼쪽으로 쉬프트 되므로 두 번의 모듈러 reduction 연산이 필요하다.

연산 1의 결과 CA로부터 두 비트 왼쪽으로 쉬프트 된 결과값이 나오므로, 두 번의 modular reduction은 그림 2와 같이 구현될 수 있다.

연산 3을 수행하기 위해서는  $i$  ( $0 \leq i \leq m-1$ ) 번째 클럭에  $A(x)$ 의 각 원소와  $b_{m-i-1}$  원소를 곱해야 하므로 이는  $m$ 개의 AND 게이트를 이용하여 쉽게 구할 수 있다. 이에 대한 구조도는 그림 3에 나타나 있다. 단 여기서는 0 번째 클럭에서의 연산을

보여주고 있다.

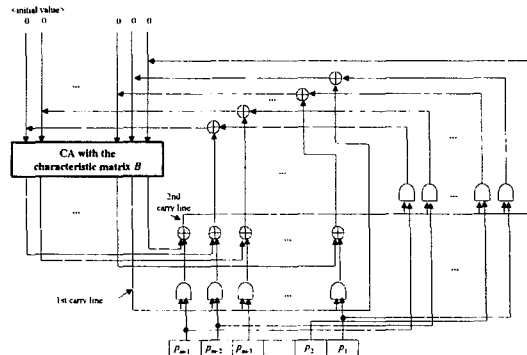


그림 2 : 연산2를 위한 구조도

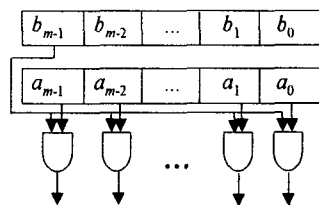


그림 3 : 연산 3을 위한 구조도

이제 연산 1, 연산 2 그리고 연산 3을 이용하여 알고리즘 2의 방법으로  $AB^2$ 을 구하는 방법에 대해 알아보자. 연산 2와 연산 3은 동시에 수행되므로 전체적인 구조도는 그림 4와 같다. 단 여기서는 0 번째 클럭에서의 연산을 보여주고 있으며, 각 레지스터 및 CA의 초기값은 다음과 같다.

- PBCA 초기값: all 0
- $A(x)$  레지스터 초기값 :  $a_{m-1} \dots a_2 a_1 a_0$
- $B(x)$  레지스터 초기값 :  $b_{m-1} \dots b_2 b_1 b_0$
- $P(x)$  레지스터 초기값 :  $p_{m-1} \dots p_2 p_1$

## V. 결론

본 논문에서는 CA를 이용하여,  $GF(2^m)$ 상에서 효과적인 지수승 계산을 위하여  $AB^2$  연산을 빠르게 처리할 수 있는 구조를 제안한다.

본 논문에서 제시된 구조를 사용하면,  $m$ 개의 셀과  $3m-2$  AND 게이트 그리고  $m$  2-input XOR 게이트,  $m-1$  3-input XOR 게이트, 3개의 레지스터를 사용하여  $m$  클럭 사이클만에  $AB^2$  연산을 수행할 수 있다.

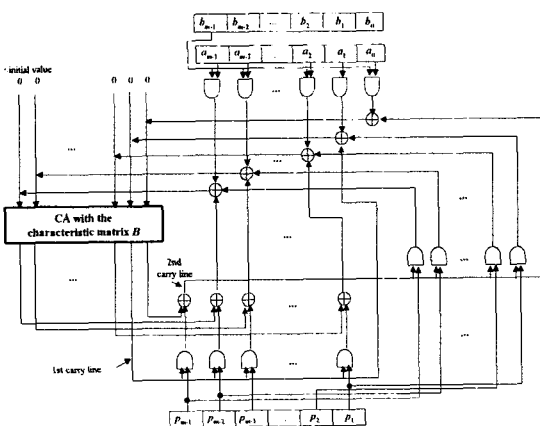


그림 4 :  $AB^2$  연산을 위한 구조도

이는 MSB 우선 방식으로  $AB^2$  연산을 함에 있어 2비트 쉬프트 연산을 CA를 이용하여 1 클럭에 구현함으로써 가능하게 되었다.

본 논문의 결과를 지금까지의 연구결과와 비교해 보면 표 1과 같다.

표 1 : 지금까지의 연구결과 비교

구조	Systolic array		본 논문
	Wei in [10]	Wang in [11]	
연산	$AB^2$	$AB^2$	$AB^2$
셀의 개수	$m \times m$	$(m \times m)/2$	$m$
AND 게이트 수	$3m \times m$	$6(m \times m)/2$	$3m-2$
XOR 게이트 수	$3m \times m$	$6(m \times m)/2$	$2\text{-input : } m$ $3\text{-input : } m-1$
래치 수	$11m \times m$	$17(m \times m)/2$	0
MUX 수	0	0	0
제어 신호 수	0	0	0
레지스터 수	0	0	3
실행시간	$3m$	$2m+m/2$	$m$

표 1을 분석해 보면 시스톨릭 구조[10,11]과 비교시 셀의 개수, 게이트의 수, 수행시간 면에서 본 논문에서 제시한 구조가 월등히 좋은 결과를 보여주고 있음을 알 수 있다. 본 논문에서 제시된  $AB^2$  연산기를 기반으로 하면 나눗셈, 지수 연산, 콜센의 역원기 등을 효율적으로 구현할 수 있다.

## 참고문헌

- [1] R.J. McEliece, Finite Fields for Computer Scientists and Engineers, New York:Kluwer Academic, 1987
- [2] W.Diffie and M.E.Hellman, New directions in cryptography, IEEE Trans. on Info. Theory, vol. 22, pp.644-654, Nov. 1976.
- [3] T.ELGamal, A public key cryptosystem and a signature scheme based on discrete logarithms, IEEE Trans. on Info. Theory, vol. 31(4), pp. 469-472, July 1985.
- [4] A.J. Menezes, Elliptic Curve Public Key Cryptosystems, Kluwer Academic Publishers, 1993.
- [5] C.S. YEH, IRVING S. REED, T.K. TRUONG, Systolic Multipliers for Finite Fields GF(2 $m$ ), IEEE TRANSACTIONS ON COMPUTERS, VOL. C-33, NO. 4, pp. 357-360, April 1984.
- [6] C.L. Wang, J.L. Lin, Systolic Array Implementation of Multipliers for Finite Fields GF(2 $m$ ), IEEE TRANSACTIONS ON CIRCUITS AND SYSTEMS, VOL. 38, NO. 7, pp. 796-800, July 1991.
- [7] P.L. Montgomery, Modular multiplication without trial division, Mathematics of Computation, 44(170):519-521, April, 1985.
- [8] M. Delorme, J. Mazoyer, Cellular Automata, KLUWER ACADEMIC PUBLISHERS 1999.
- [9] STEPHEN WOLFRAM, Cellular Automata and Complexity, Addison-Wesley Publishing Company, 1994.
- [10] S.W.Wei, VLSI architectures for computing exponentiations, multiplicative inverses, and divisions in GF(2 $m$ ), IEEE Trans. On Circuit & System -II: Analog and Digital Signal Processing, vol. 44, NO. 10, pp. 847-855, Oct. 1997.
- [11] C.L.Wang, and J.H.Guo, New Systolic Arrays for C+AB $^2$ , inversion, and division in GF(2 $m$ ), IEEE Trans. On Computer, vol. 49, NO. 10, Oct. 2000.
- [12] A.J.Menezes, Applications of Finite Fields, Kluwer Academic, 1993.
- [13] Knuth, THE ART OF COMPUTER PROGRAMMING, Vol. 2/Seminumerical Algorithms, ADDISON-WESLEY, 1969.